

論文

PV 디지털 필터를 이용한 TDM/FDM 변환장치

正會員 金泰樹* 正會員 金明起**

A Study on the TDM/FDM Transmultiplexer using PV Digital Filter

Tae Soo KIM*, Myung Ki KIM** Regular Members

要 約 TDM 및 FDM 간의 직접적인 변환을 위하여는, K 채널의 경우, 최소한 2K 개의 디지털 필터가 필요하며, 단위시간, 단위채널당 요구되는 승산수도 극히 많다. 본 논문에서는 PV 디지털 필터의 특성들을 TDM/FDM변환 장치에 적용함으로써, 변환장치를 단 한 개의 필터만을 사용하여 구성할 수 있고, 또한 요구되는 승산수도 대폭 줄일 수 있는방법을 제시하였다.

ABSTRACT This paper describes a method to perform the conversion between two widely used multiplexing techniques in telephony, TDM and FDM. This method is based on the digitized Weaver modulator for single side-band modulation, and makes use of a PV digital filter which has commutativity with sinusoidal modulators and periodicity of coefficients. Thus we greatly reduce the complexity and multiplication rate of the system.

I. 序論

근래 반도체 산업의 발달과 더불어 FDM (Frequency Division Multiplex)에 의한 아날로그다중전송장치는 점차 TDM (Time Division Multi-

plex)에 의한 디지털 다중전송장치로 대체되어 가고 있으며, 전 세계적으로 막대한 양의 TDM 및 FDM 시설이 공존하게 됨에 따라 두 방식간의 신호변환문제가 당면 과제로서 대두되고 있다. 현재, 이러한 변환은 신호를 한 형식에서 기본매역으로 디멀티플렉싱 (demultiplexing)하고, 이를 다시 다른 형식으로 리멀티플렉싱 (remultiplexing) 함으로써 만족스럽게 이루어 지고는 있지만, DSP (Digital Signal Processing) 기술의 응용 분야로서 근래 두 방식간의 직접적인 변환문제가 많은 관심의 대상이 되고 있다. 그림 1에 12-채널 TDM/FDM 변환장치의 블록다이아 그램

*釜山東明專門大學 電子科

Dept. of Electronic Engineering, Dong-Myung Junior College, Busan, 608 Korea.

**東亞大學 工科大學 電子工程系

Dept. of Electronic Engineering, Dong-A University, Busan, 600-02 Korea.

論文番號 : 87-20(接受 1986. 7. 14)

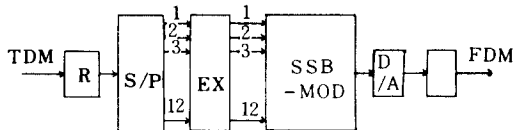


그림 1 12-채널 TDM/FDM 변환장치의 블록다이아그램
Block diagram of a 12-channel transmultiplexer.

을 예시했다.

그림 2-(a)와 같은 형태의 12-채널 TDM 신호가 R(Receiver)에 가해지며, 여기서 신호레벨 조정등이 행해진다. S/P(Serial-Parallel converter)에서 직렬적인 TDM신호가 게이팅 오퍼레이션(gating operation)에 의해서 그림 2-(b)와 같은 형태의 병렬적인 신호로 변환되며, EX(EXpander)에서 선형적으로 부호화된 표본으로 변환된다. 다음 SSB-MOD(Single Side-Band Modulator)에서 디지털 형태의 FDM 신호가 만들어 지며, D/A(Digital-Analog converter) 및 AF(Analog Filter)를 거쳐 그림 2-(c)와 같은 형태의 12-채널 FDM신호가 만들어 진다. 이 때 필터링에 필요한 파도대역으로서 2개의 공 채널을 둔다.

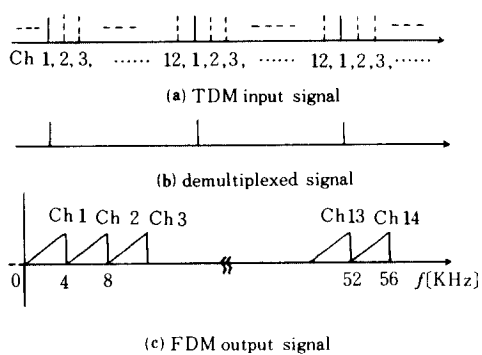


그림 2 시스템 각부의 신호
Signals at various points of the system.

TDM 신호는 각 채널들로 쉽게 분리 될 수 있으므로 결국 TDM/FDM 변환장치의 기능은 그의 기본대역 신호들로 부터 디지털 단축파대 FDM 신호를 만들어 내는 것으로 압축이 될 수 있으며, 협의적으로 이 부분(SSB-MOD)만을 가-

리켜 TDM/FDM 변환장치라 부르고 있다. FDM/TDM 변환은 TDM/FDM 변환의 전위(transposition)로서 생각할 수 있으며 일반적으로 후자에 대해서만 관심을 두고 있다. 이 분야에 대해서는 1970년 S. Darlington⁽¹⁾ 때부터 관심을 가지기 시작하여 지금까지 많은 알고리즘들이 제시되어 왔다^{(2)~(5)}. 그러나, 이러한 알고리즘들은 K 채널의 TDM/FDM 변환을 위하여 최소한 2 K개 또는 그 이상의 디지털 필터를 필요로 하고 있으며 단위시간, 단위채널 당 요구되는 승산수도극히 많았다⁽⁶⁾. 그후 S. Singh에 의해서 필요한 필터의 수를 반으로 줄일 수 있는 알고리즘이 제안되었으나⁽⁷⁾ 반면에 요구되는 승산수는 오히려 증가하였다.

본 논문에서는 시스템의 단순화 및 요구되는 승산수의 경감에 중점을 두어, 우선 디지털 Weaver 단축파대변조방법⁽⁸⁾에 의해서 TDM/FDM 변환장치를 구성하였으며, 여기서 사용되는 direct form 인터폴레이팅 필터를 그 계수의 주기성⁽¹⁰⁾을 이용하여 Periodically Varying(PV) 디지털 필터^{(4), (9)}로 대체함으로써 각 필터에 사용되는 승산기의 수 및 단위시간, 단위채널당 요구되는 승산의 수를 대폭 줄이고, 또한 PV 디지털 필터의 “정현파 변조기(sinusoidal modulator) 와의 교환성(commutativity)”⁽⁹⁾ 및 “선형성(linearity)”을 이용하여 전 시스템에 사용되는 필터의 수 및 단위시간, 단위채널당 요구되는 승산의 수를 보다 줄일 수 있는 방법을 제시하였다.

이상의 알고리즘을 CCITT 기준에 맞추어 S. Darlington⁽¹⁾, A. Peled⁽⁵⁾, S. Singh⁽⁷⁾, S. L. Freeny⁽³⁾ 및 M. Tomlinson^(4)b) 제안한 대표적인 알고리즘들과 비교하고, 컴퓨터 시뮬레이션을 통하여 새로운 형태의 TDM /FDM 변환장치에 대한 타당성을 확인하였다.

II. 디지털 Weaver 단축파대 변조

TDM/FDM 변환의 관건은 디지털 단축파대변조이며 일반적으로 단축파대 변조방법에는 여러 가지가 있으나 다중통신시스템에서는 그중 Weaver의 방법⁽⁸⁾을 이용한 접근법이 가장 유용한 것

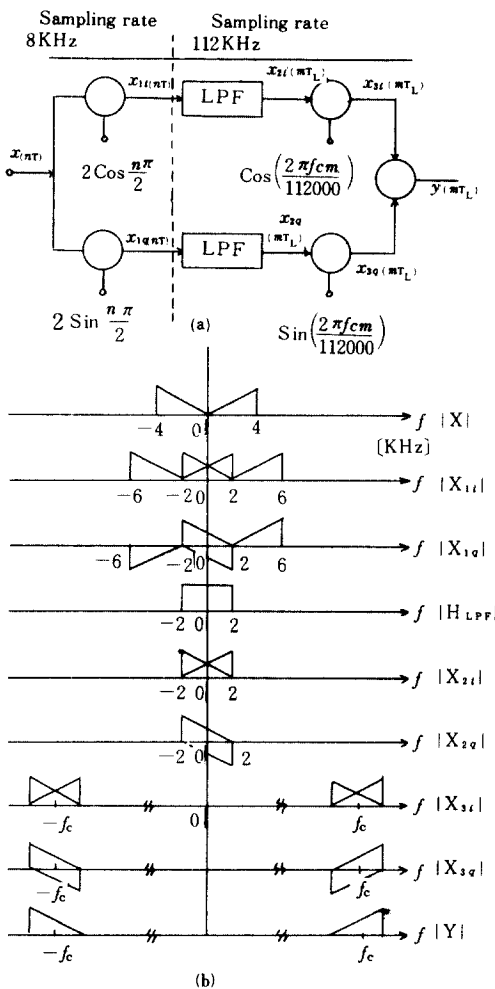


그림 3 디지털Weaver SSB변조
(a) 블록다이아그램
(b) 각 신호의 스펙트럼

Digital Weaver SSB modulation.

- (a) Block diagram
- (b) Spectra of each signal

으로 알려져 있다⁽⁶⁾. 그림 3-(a)는 Weaver 가 제안한 아날로그 단축파대 변조방법을 디지털 형태로 수정한 것이다.

현의상 입력신호를

$$x(nT) = \sum_{t=1}^I E_t \cos \left(\frac{nf_t \pi}{4000} + \phi_t \right) \quad (1)$$

와 같이 8 [KHz]의 율로써 표본화(Sampling)된 0 ~ 4 [KHz] 내의 I개의 정현파의 합으로 표시

하자. 첫 번째 변조기에서 입력신호를 대역중심 주파수인 2 [KHz]의 주파수를 가지며 8 [KHz]의 율로 표본화된 보호반송파 $\cos \frac{n\pi}{2}$ 및 $\sin \frac{n\pi}{2}$ 로써 변조하면 출력은 각각 다음과 같이 된다.

$$\begin{aligned} x_{1L}(nT) &= Ax(nT) \cos \frac{n\pi}{2} \\ &= \frac{A}{2} \sum_{t=1}^I E_t \left[\cos \left\{ \frac{(f_t + 2000)n\pi}{4000} + \phi_t \right\} \right. \\ &\quad \left. + \cos \left\{ \frac{(f_t - 2000)n\pi}{4000} + \phi_t \right\} \right] \end{aligned} \quad (2)$$

$$\begin{aligned} x_{2L}(nT) &= Ax(nT) \sin \frac{n\pi}{2} \\ &= \frac{A}{2} \sum_{t=1}^I E_t \left[\sin \left\{ \frac{(f_t + 2000)n\pi}{4000} + \phi_t \right\} \right. \\ &\quad \left. - \sin \left\{ \frac{(f_t - 2000)n\pi}{4000} + \phi_t \right\} \right] \end{aligned} \quad (3)$$

(단, A는 진폭정수)

이것을 대역중심주파수인 2 [KHz]의 차단주파수를 가지며 8 [KHz]의 표본화율에서 동작되는 저역필터(LPF)로써 필터링하면 그 출력은 다음과 같이 된다.

$$x_{2L}(nT) = \frac{A}{2} \sum_{t=1}^I E_t \cos \left\{ \frac{(f_t - 2000)n\pi}{4000} + \phi_t \right\} \quad (4)$$

$$x_{1L}(nT) = \frac{A}{2} \sum_{t=1}^I E_t \sin \left\{ \frac{(f_t - 2000)n\pi}{4000} + \phi_t \right\} \quad (5)$$

이러한 두 저주파 신호들을 두 번째 변조기에서 주파수 f_c 인 주반송파로써 변조한다. 이때 12채널 TDM/FDM 변환장치의 경우를 예를 들면 2 채널의 보호대역을 포함, FDM 출력신호의 대역폭은 56 [KHz]가 되며 따라서 출력신호의 표본화 주파수는 112 [KHz]가 되어야 한다. 즉, 112 [KHz]의 율로 표본화된 주반송파 $\cos \frac{mf_c \pi}{56000}$ 및 $\sin \frac{mf_c \pi}{56000}$ 로써 변조하면 그 출력신호는 각각

$$x_{3t}(mT_L) = \frac{A}{4} \sum_{t=1}^L E_t [\cos \left\{ \frac{(f_c + f_t - 2000)m\pi}{56000} + \phi_t \right\} + \cos \left\{ \frac{(f_c - f_t + 2000)m\pi}{56000} - \phi_t \right\}] \quad (6)$$

$$x_{3q}(mT_L) = \frac{A}{4} \sum_{t=1}^L E_t [\cos \left\{ \frac{(f_c + f_t - 2000)m\pi}{56000} + \phi_t \right\} - \cos \left\{ \frac{(f_c - f_t + 2000)m\pi}{56000} - \phi_t \right\}] \quad (7)$$

가 되며 양 신호를 더하면 요구되는 상측파대 신호가 구해진다.

$$y(mT_L) = \frac{A}{2} \sum_{t=1}^L E_t \cos \left\{ \frac{(f_c + f_t - 2000)m\pi}{56000} + \phi_t \right\} \quad (8)$$

그림 3-(b)에 각부의 스펙트럼을 도시하였다. 여기서 식 (6) 및 (7)에서는 LPF의 출력신호가 112[KHz]의 율로 표본화되어 있다고 가정하였다. 그러나 지금 LPF의 실제 출력 표본화주파수는 8[KHz]이며 이로써는 정상적인 변조가 이루어 질 수 없다. 그림 3-(a)와 같은 형태의 모든 채널들을 112[KHz]의 표본화율에서 처리한다는 것은 극히 비효율적인 일이기 때문에 여기

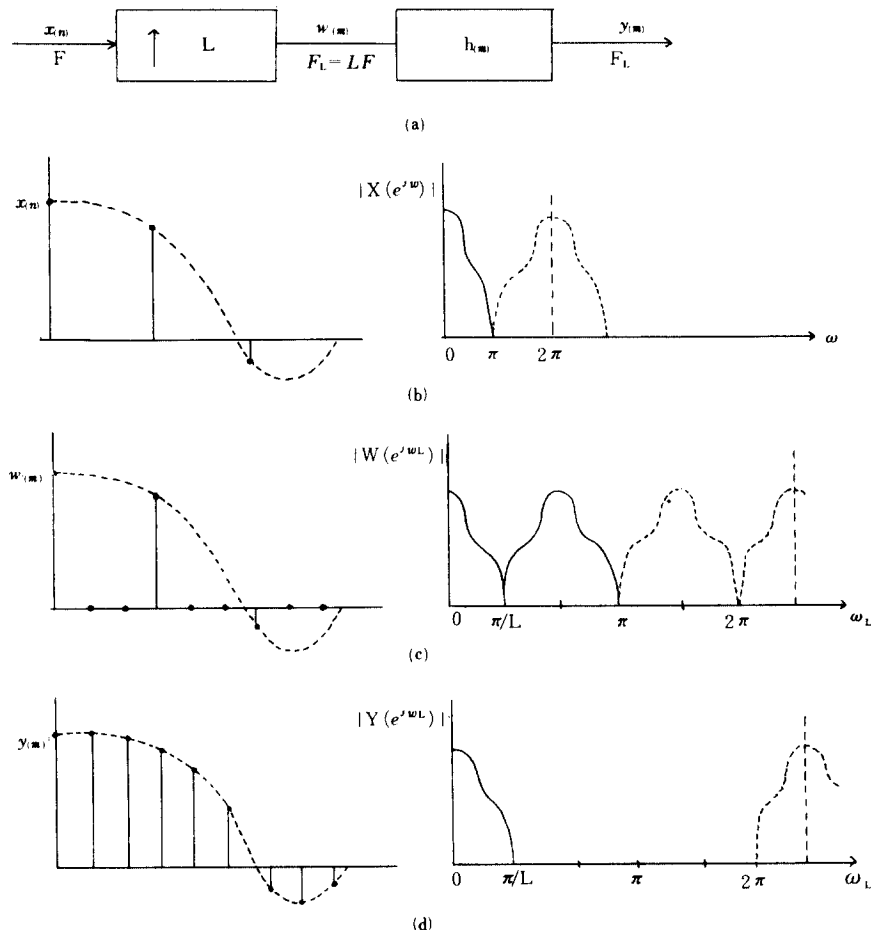


그림 4 표본화율 3 배증가시의 블록다이아그램, 파형 및 스펙트럼도
Block diagram and typical waveforms and Spectra for Sampling rate increase by a factor of 3.

서 표본화율변환(Sampling rate conversion) 과 정이 필요하게 된다.

III. 디지털신호 인터폴레이션⁽¹⁰⁾

주어진 시퀀스(*x*(nT))를 취해서 표본화율이 L배 되는 새로운 시퀀스 *y*(mT_L)을 만들어 내는 과정을 인터폴레이션(interpolation)이라 하며 그림 4는 표본화율을 3배 증가시키는 과정을 예시한 것이다. 앞으로는 편의상 nT를 n으로, mT_L을 m으로 약기하기로 한다.

입력신호 *x*(n)의 각 표본사이에 L-1개의 값이 “0”인 표본들을 채워 넣으면 그 신호는

$$w_{(m)} = \begin{cases} x(m/L) & m = 0, \pm L, \pm 2L, \dots \\ 0 & \text{otherwise} \end{cases} \quad (9)$$

이 된다. 이것은 단지 표본화율만을 증가시킨 표본화율 확장(sampling rate expansion)에 해당된다. *w*_(m)의 Z-변환은

$$W(z) = \sum_{m=-\infty}^{\infty} w_{(m)} z^{-m} = \sum_{m=-\infty}^{\infty} x_{(m)} z^{-mL} = X(z^L) \quad (10)$$

단위원 $Z = e^{j\omega_L}$ 상에서 *W*_(z)를 구하면

$$W(e^{j\omega_L}) = X(e^{j\omega_L}) = X(e^{j\omega}) \quad (11)$$

$$(단, \omega_L = 2\pi f T_L, \omega = 2\pi f T, T_L = \frac{T}{L})$$

이것은 입력신호 *x*(n)의 스펙트럼으로써 표현된 신호 *w*_(m)의 F-변환이다. 그림 4-(c)에 예시되었듯이 *w*_(m)의 스펙트럼은 $-\pi/L \sim \pi/L$ 의 기본대역주파수뿐만 아니라 원 표본화주파수의 우수배 주파수 $\pm 2\pi/L, \pm 4\pi/L, \dots$ 에 중심을 둔 고조파 성분들 까지도 포함한다. 필요한 기본대역 신호만을 추출해 내기 위해서는 신호 *w*_(m)을 다음과 같은 이상특성에 접근하는 저역 필터로써 필터링할 필요가 있다.

$$H(e^{j\omega_L}) = \begin{cases} L & |\omega_L| \leq 2\pi f T_L = \frac{\pi}{L} \\ 0 & \text{otherwise} \end{cases} \quad (12)$$

H(e^{jω_L})의 단위 임펄스응답을 *h*(m)이라 하면 *y*(m)은

$$\begin{aligned} y_{(m)} &= \sum_{k=-\infty}^{\infty} h(m-k) x(k/L) \\ &= \sum_{r=-\infty}^{\infty} h(m-rL) x_{(r)} \end{aligned} \quad (13)$$

여기서 $r = \lfloor \frac{m}{L} \rfloor - n$ 으로 변수를 변경하고 $m - \lfloor \frac{m}{L} \rfloor L = m \oplus L$ 의 관계를 대입하면

$$\begin{aligned} y_{(m)} &= \sum_{n=-\infty}^{\infty} h(m - \lfloor \frac{m}{L} \rfloor L + nL) x(\lfloor \frac{m}{L} \rfloor - n) \\ &= \sum_{n=-\infty}^{\infty} h(nL + m \oplus L) x(\lfloor \frac{m}{L} \rfloor - n) \end{aligned} \quad (14)$$

여기서 $\lfloor u \rfloor$ 는 *u*와 같거나 *u*보다 작은 최대의 정수(integer)를 나타내며 *i* \oplus *L*은 *L*로써 modulo 된 *i*의 값을 나타낸다. 식 (14)로부터 *h*(m)은 *x*에 대하여 주기 *L*로써 주기적으로 적용이 된다는 것을 알 수 있다. *h*_(m)이 유한차수(N차)일 경우, 이상의 관계는 그림 5와 같은 N차 direct form 인터폴레이팅 필터로써 쉽게 실현될 수 있다⁽¹⁰⁾. 여기서 $\uparrow L$ 은 표본화율의 *L*배 확장, 즉 *x*(n)의 각 표본들 사이에 *L*-1개의 값이 “0”인 표본들을 삽입한다는 것을 의미하며, *Z_L⁻¹*은 *T_L* 만큼의 지연을 뜻한다.

그러나 이 경우, *K*채널의 TDM/FDM 변환을 위해서 *2K*개의 필터가 필요하며 또한 필터는 높은 표본화율에서 동작되므로 단위시간, 단위채

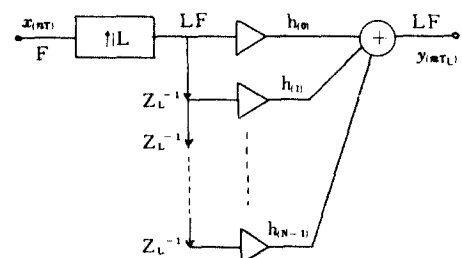


그림 5 직접 구성된 인터폴레이팅 필터
Direct form interpolating filter.

널당 요구되는 승산수도 극히 많았다⁽⁶⁾. 지금까지 여기에서 요구되는 승산수를 줄이기 위한 많은 알고리즘들이 제안되어 왔으나 필요한 필터의 수는 오히려 증가되는 경향이 있었다. 다음에 특수한 형태의 필터를 사용하여 변환장치를 극히 단순화하고 요구되는 승산수도 대폭 줄일 수 있는 방법을 생각해 보기로 한다.

IV. PV 디지털 필터를 이용한 변환장치의 단순화

1. PV 디지털 필터

그림 6-(a)와 같이 direct form 구조의 디지털 인터폴레이팅 필터는 필터계수의 주기성에 의

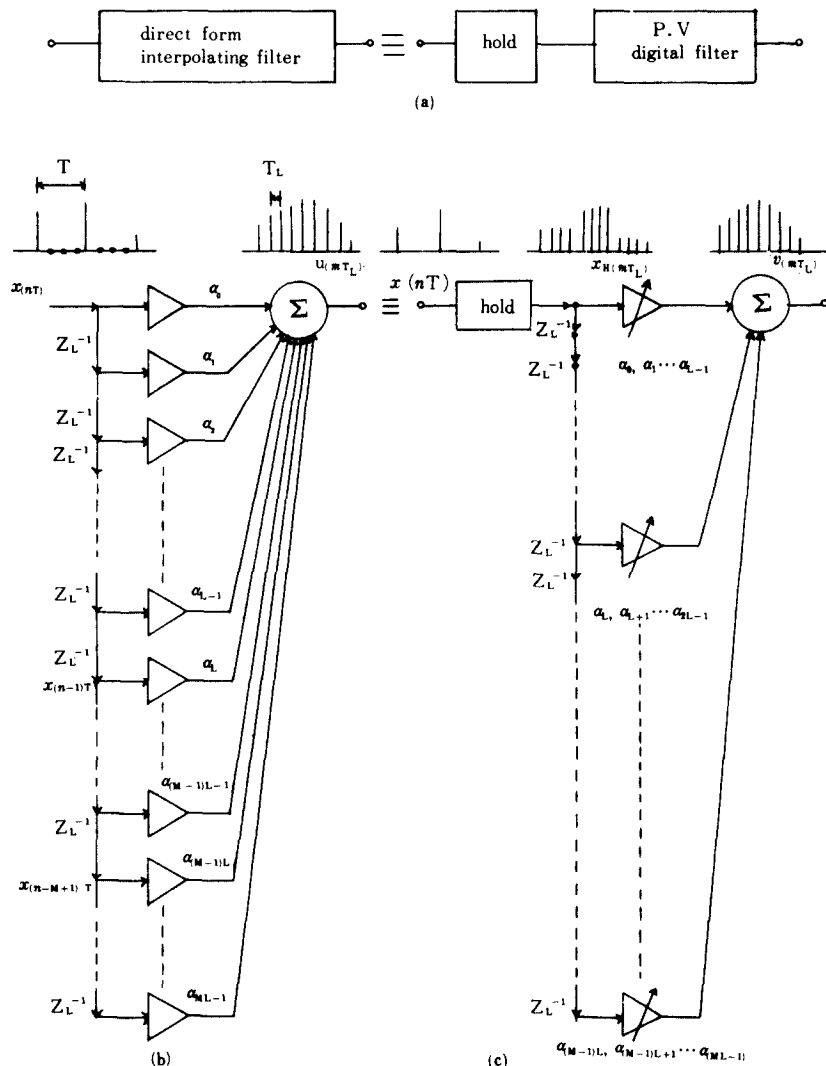


그림 6 디지털 인터폴레이팅 필터의 hold 및 P.V.F.로의 변환
The Conversion of a digital interpolating filter to a hold and a P.V.F

해 hold 회로와 종속적으로 접속된 PV 디지털 필터로 대치될 수 있다⁽⁴⁾.

원의상 N을 L의 정수배 ($N=ML$: M은 정수)라 하고 필터의 임펄스응답을 다음과 같다고 두자.

$$h(m) = \begin{cases} 0 & m < 0 \\ \alpha_m & 0 \leq m \leq N-1 \\ 0 & m > N-1 \end{cases} \quad (15)$$

그림 6-(b)에서 알 수 있는 바와 같이 인터풀레이션필터의 경우, 매 L개의 입력 표본중 오직 1개만이 “0”이 아니며, 필터의 한 출력표본당 요구되는 승산수는 사실상 N이 아니라 N/L 이된다. 따라서 N개의 승산기 대신에 그림 6-(c)와 같이 지연주기 T_L 을 가지는 L개의 지연기로써 분리된 N/L 개의 승산기를 사용하고, 그 대신 각 승산기의 계수를 주기 L로써 주기적으로 바꾸어 준다면 결국 그림 6-(b)의 출력과 동일한 출력을 얻을 수 있음을 알 수 있다. 그림 6-(b), (c) 위에 $L=4$ 인 경우에 대한 각 지점의 시간영역에서의 신호를 예시했다. 여기서 “hold”는 표본화 주파수 $\frac{1}{T}$ 의 입력 $x(n)$ 의 각 표본들 사이에 $L-1$ 개의 동일한 표본들을 삽입한다는 것을 의미한다. 이상의 등가관계를 다음과 같이 간단하게 나타낼 수 있다. 즉, 그림 6-(b)의 필터의 출력 $u_{(m)}$ 은

$$u_{(m)} = \sum_{r=0}^{N-1} h_{(r)} x_L(m-r) \quad (16)$$

가 되며 여기서 $m=nL+m \oplus L$ ($n=0, 1, 2, \dots$)이라하고 $m \neq nL$ 에 대해 $x_L(m)=0$ 임을 상기하면 위 식은

$$u(m) = \sum_{\nu=0}^{M-1} h(\nu L + m \oplus L) x \left(\left\lfloor \frac{m}{L} \right\rfloor - \nu \right) \quad (17)$$

와 같이 쓸 수 있다. x 의 한 주기내의 필터의 출력은

$$u(k) = \sum_{\nu=0}^{M-1} \alpha_{\nu L+k} x(n-\nu) \quad (18)$$

(단, $k=0, 1, 2, \dots, L-1$)

가 된다. 한편 그림 6-(c)의 경우, hold 회로의 출력은

$$x_H(m) = x_H(nL+m \oplus L) = x \left(\left\lfloor \frac{m}{L} \right\rfloor \right) \quad (19)$$

가 되며 따라서 PV 필터의 출력 $u(m)$ 은

$$u_{(m)} = \sum_{\nu=0}^{M-1} h(\nu L + m \oplus L) x \left(\left\lfloor \frac{m}{L} \right\rfloor - \nu \right) \quad (20)$$

또한 x 의 한 주기내의 필터의 출력은

$$u(k) = \sum_{\nu=0}^{M-1} \alpha_{\nu L+k} x(n-\nu) \quad (21)$$

(단, $k=0, 1, 2, \dots, L-1$)

가 된다. 식 (18) 및 (21)로 부터 그림 6-(b) 및 (c)가 등가임을 알 수 있다.

이와 같이 필터의 구조를 변경하는 목적은 그 자체로서도 명백한 이점이 있지만, 그 보다도 이러한 구조의 필터는 특별한 조건하에서 정현파변조기와의 교환(commutation)이 가능하며, 또한 TDM/FDM 변환장치내의 각 지로의 모든 필터는 전혀 동일한 것이고, 최종적으로 모든 지로들의 신호가 서로 더해지기 때문에 필터의 선형성에 의해 병렬적으로 배열된 2K개 (K는 채널수)의 필터를 단 하나로 묶을 수 있다는데 있다.

2. 정현파 변조기와의 교환성⁽⁹⁾

그림 7-(a)와 같이 뒤에 정현파 변조기를 갖는 PV 디지털 필터의 경우를 생각해 본다.

우선 반송파주파수 f_c 가 기본대역 표본화주파수 $\frac{1}{T}$ 의 정수배라 가정하면

$$\cos(2\pi f_c m T_L) = \cos(2\pi i m / L) \quad (22)$$

와 같이 표본화된 반송파를 생각할 수 있다. 여기서 i 는 정수이다. 식 (16), (20) 및 (22)로 무터 출력 $y(m)$ 은

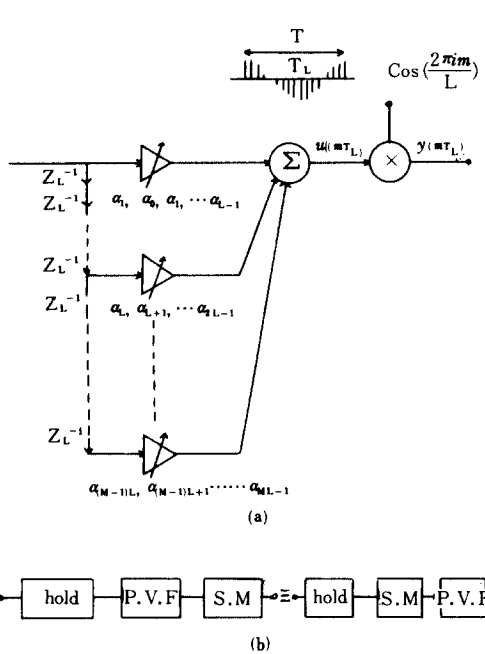


그림 7 정현파 변조기와 접속된 P. V 필터
A P.V filter followed by a sinusoidal modulator.

$$y_{(m)} = \cos(2\pi im/L) \sum_{\nu=0}^{M-1} \alpha_{\nu L+k} x_H(m-\nu L) \quad (23)$$

가 된다. 이제 PV 필터와 변조기의 순서가 교환된 배열을 생각하자. $\cos(2\pi im/L)$ 이 먼저 신호 $x_{H(m)}$ 에 곱해지므로 출력은

$$y'_{(m)} = \sum_{\nu=0}^{M-1} \alpha_{\nu L+k} x_H(m-\nu L) \cdot \cos\left(\frac{2\pi i(m-\nu L)}{L}\right) \quad (24)$$

여기서 $\cos[2\pi i(m-\nu L)/L] = \cos(2\pi im/L)$ 이므로 식 (24)는

$$y'_{(m)} = \sum_{\nu=0}^{M-1} \alpha_{\nu L+k} x_H(m-\nu L) \cdot \cos(2\pi im/L) \quad (25)$$

식 (23) 및 (25)로 부터 그림 7-(b)와 같이 PV 필터와 정현파변조기의 교환이 가능함을 알 수 있다. 만일 반송파주파수 f_c 가 $\frac{1}{T}$ 의 정수배가 아니라면 교환성은 일반적으로 성립되지 않는다.

그러나 $f_c = \left(\frac{1}{T}\right)i + \frac{1}{2T}$ 인 특수한 경우를 한번 생각해 보자. 이 경우 변조기의 출력은

$$y_{(m)} = \cos\left[\frac{(2i+1)m\pi}{L}\right] \sum_{\nu=0}^{M-1} \alpha_{\nu L+k} \cdot x_H(m-\nu L) \quad (26)$$

이 되며 필터와 변조기의 순서가 교환될 경우 출력은

$$y'_{(m)} = \sum_{\nu=0}^{M-1} \alpha_{\nu L+k} x_H(m-\nu L) [\cos\{(2i+1)m\pi/L\} \cdot \cos\{(2i+1)\nu\pi\} + \sin\{(2i+1)m\pi/L\} \cdot \sin\{(2i+1)\nu\pi\}] \quad (27)$$

여기서

$$\sin\{(2i+1)m\pi/L\} \cdot \sin\{(2i+1)\nu\pi\} = 0$$

$$\cos\{(2i+1)\nu\pi\} = \begin{cases} 1 & \nu \text{가 짝수일 경우} \\ -1 & \nu \text{가 홀수일 경우} \end{cases}$$

가 되므로

$$y'_{(m)} = \sum_{\nu=0}^{M-1} (-1)^{\nu} \alpha_{\nu L+k} x_H(m-\nu L) \cdot \cos\{(2i+1)m\pi/L\} \quad (28)$$

가 된다. 식 (26)과 (28)을 비교하여 보면 필터의 홀수번째 계수의 부호를 바꾸어 준다면 역시 교환성이 성립됨을 알 수 있다.

3. TDM/FDM 변환장치에의 응용

12채널 TDM/FDM 변환장치를 direct form 인터폴레이팅 필터(DIF)를 사용, Weaver의 방법에 의해 구성하면 그림 8과 같이 된다. 여기서 DIF는 물론 인터폴레이션 기능뿐만 아니라 저역필터(LPF) 기능까지 겸하고 있다. 4[KHz]로 대역제한(band limited)된 기본대역신호 $x_{(n)}$ 으로부터 임의의 반송파 주파수 f_c 에 중심을 둔 단축파대 변조신호를 만들어 내는 과정에 대해서는 II장에서 상술하였으며 여기서 각 채널의 반

송파 주파수 f_{ci} 를 각각 $4i$ [KHz] (단, i 는 채널 number)로 택하면 요구되는 FDM 신호를 구할 수가 있다. 그림 8 내의 24개의 필터는 모두 동일한 것으로서 8 [KHz]로 표본화된 입력을 취하여 2 [KHz]의 차단주파수를 갖고 112 [KHz]로 표본화된 출력을 낸다.

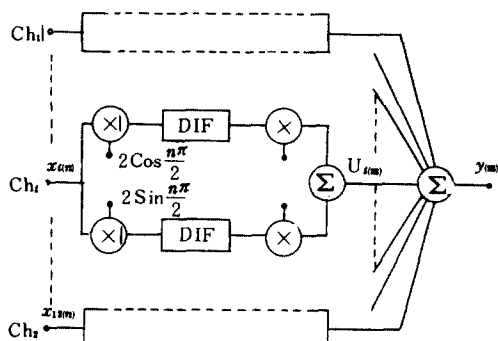


그림 8 12-채널 TDM/FDM 변환장치
A 12 channel TDM/FDM Transmultiplexer.

우선 임의의 i 번째 채널을 생각하자. 전술한 바와 같이 direct form 인터플레이팅 필터는 그림 9-(a)와 같이 hold 회로 및 PV 디지털 필터로 대체될 수 있으며, 따라서 각 필터의 구조가 $\frac{1}{L}$ 로 간이화되었으며, 요구되는 승산의 수도 $\frac{1}{L}$ 로 대폭 줄어 들었다. 또한 PV 필터와 정현파 변조기와의 교환성을 이용하면 그림 9-(b)와 같은 구조로 된다. 그러나 앞서 언급했듯이 이러한 교환이 항상 가능한 것은 아니다. FDM의 각 채널은 4 [KHz]의 대역폭을 점유하며 4 [KHz]의 간격을 두고 배치되어 있다. 따라서 짹수 채널의 경우에는 $f_c = \frac{i}{T}$ (i 는 정수)의 조건이 만족되므로 그대로 교환성이 성립되지만 홀수 채널의 경우에는 $f_c = \frac{i}{T} + \frac{1}{2T}$ 의 조건에 해당되므로 홀수 번째 계수의 부호를 바꾸어 처리하지 않으면 안된다. 각 채널내에 있는 필터들은 모두 동일하고 이 출력들은 결국 서로 더해지기 때문에 필터의 선형성에 의해 그림 8은 그림 9-(c)와 같이 수정될 수 있다. 즉 전 시스템에서 요구되는 24개의 필

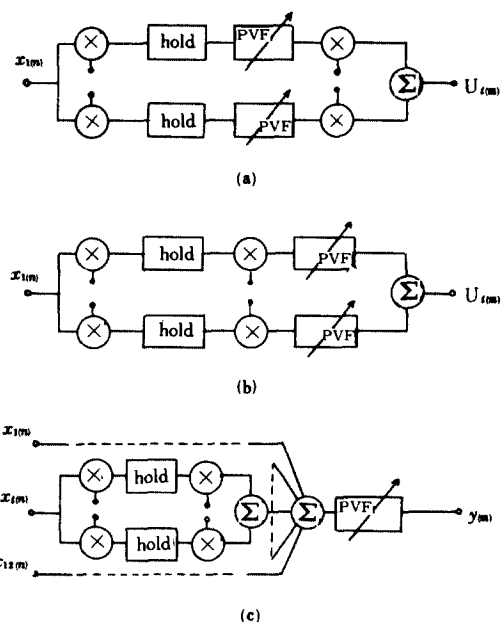


그림 9 TDM/FDM 변환장치의 단순화
Simplification of the TDM/FDM transmultiplexer.

터를 단 한 개의 PV 필터로 대체할 수가 있다.

단위시간, 단위채널당 요구되는 승산의 수는 사용된 필터의 차수에 비례하며 또한 필터의 차수는 표본화율 및 CCITT에서 규정한 주파수 영역에서의 특성에 따라 결정된다. 표본화율 f_s , 과도대역 Δf , 통과대역 및 차단영역 리플(ripple)이 각각 δ_1 및 δ_2 라 하면 필요한 필터의 차수는 다음과 같은 M. G. Bellanger의 공식^[12]에 의해 어림될 수 있다.

$$N_{FIR} \approx \frac{2}{3} \log \left[\frac{1}{10 \cdot \delta_1 \cdot \delta_2} \right] \cdot f_s / \Delta f \quad (29)$$

그림 9-(c)의 경우, $f_s = 112$ [KHz], $\Delta f = 900$ [Hz], $\delta_1 = 0.01$ 및 $\delta_2 = 5 \times 10^{-4}$ 이 되어야 하므로

$$N_{FIR} \approx -\frac{2}{3} \log [10 \times 0.01 \times 5 \times 10^{-4}] \times 112000 / 900 \approx 356 \quad (30)$$

이 된다. 원의상 14의 정수배가 되도록 364차로 택하면 필요한 승산의 수는 $\frac{364}{14} \times 112 \times 10^3 / 12 \approx 0.243 \times 10^6 [\text{M/S} \cdot \text{ch}]$ 가 된다. 첫번째 변조기에서는 승산이 필요치 않고 두번째 변조기에서는 $24 \times \log_2 24 \times 4000 / 12 \approx 0.036 \times 10^6 [\text{M/S} \cdot \text{ch}]$ 가 되므로 전 시스템에서는 $0.279 \times 10^6 [\text{M/S} \cdot \text{ch}]$ 가 된다.

이상을 지금까지 제안된 대표적인 알고리즘들과 비교하면 표 1과 같다.

표 1 변환장치 알고리즘의 비교
Comparison of transmultiplexer algorithms.

구분 세안	사용필터수 (K 채널)	단위시간, 단위채널당 승산수
S. Darlington(1)	LPF : 4 K	$2.253 \times 10^6 [\text{M/S} \cdot \text{ch}]$
L. Freeny (3)	LPF : 4 K	$1.328 \times 10^6 [\text{M/S} \cdot \text{ch}]$
M. Tomlinson(4)	PVF : 1 DHT : K	$0.321 \times 10^6 [\text{M/S} \cdot \text{ch}]$
A. Peled (5)	LPF : 2 K	$0.216 \times 10^6 [\text{M/S} \cdot \text{ch}]$ $0.457 \times 10^6 [\text{A/S} \cdot \text{ch}]$
S. Singh (7)	LPF : 2 K	? (大)
본 연구	PVF : 1	$0.279 \times 10^6 [\text{M/S} \cdot \text{ch}]$

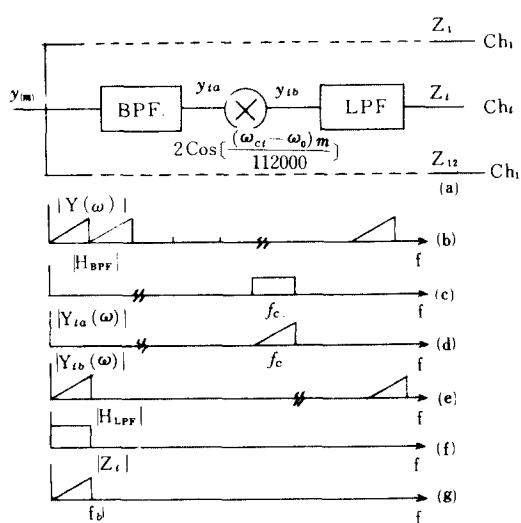


그림10 복조시스템 및 시스템 각부의 스펙트럼
Demodulating system and spectra at various points of the system

V. 컴퓨터 시뮬레이션

그림 9-(c)의 TDM/FDM변환장치에 대한 시뮬레이션을 행하기 위해서는 그림 10과 같은 복조과정이 필요하다. 그림 9-(c)의 입력 측에 각각 8[KHz]로써 표본화된 300~3400[Hz]의 정현파를 가하고 그의 출력신호 $y_{(m)}$ 을 그림 10의 입력 측에 가한다. 실제로는 원의상 채널 3 및 8에 대해서만 시뮬레이션을 행하였으며 시뮬레이션 결과 300~3,400[Hz] 범위내의 모든 주파수성분에 대해서 입력과 동일한 파형의 출력을 얻을 수 있었으며 그림 11은 채널 3에 550[Hz], 채널 8에 2,900[Hz]의 정현파 신호를 가한 경우를 예시한 것이다. 필터는 M. G. Bellanger의 근사식에 의해 364차로 택하였으며 Weighted chebychev 근사에 의한 “Remez exchange algorithm”을 이용하여 설계하였다.

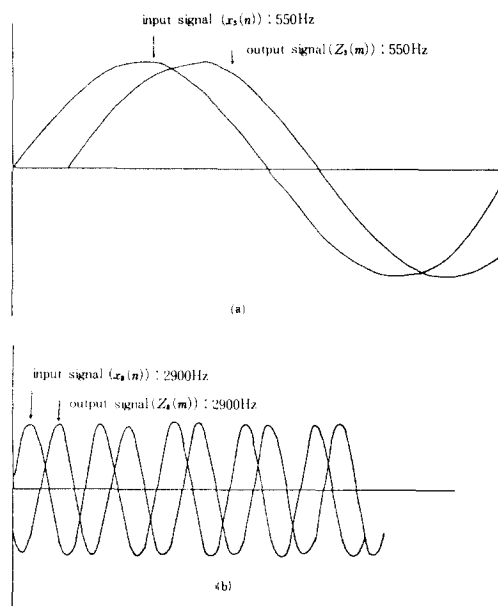


그림11 시뮬레이션 결과
(a) 채널 3 (b) 채널 8
Simulation results.
(a) for channel 3 (b) for channel 8.

VI. 結論

S. Darlington 이 제안한 전형적인 TDM/FDM 변환장치에서 direct form 인터플레이팅 필터를 그 계수의 주기성을 이용, PV 디지털 필터로 대체함으로써 각 필터에 사용되는 승산기의 수 및 단위시간, 단위채널당 요구되는 승산의 수를 $\frac{1}{L}$ (L 은 인터플레이팅 율)로 대폭 줄일 수 있었으며, 또한 PV 디지털 필터의 “정현파 변조기와의 교환성” 및 “선형성”을 이용, 시스템을 보다 단순화함으로써 전 시스템에 사용되는 필터의 수 및 단위시간, 단위채널당 요구되는 승산의 수를 다시 $\frac{1}{2K}$ (K 는 채널수)로 줄일 수 있었다. 그 결과 단 한개의 필터만을 사용하여 변환장치를 구성할 수 있었으며 단위시간, 단위채널당 요구되는 승산수도 0.279×10^6 [M/S·ch] (12채널의 경우)로 대폭 감소되었다. 이러한 단순화 효과는 채널 수가 많아 질수록 커진다. 한편 모든 채널들의 신호를 합하여 한꺼번에 처리해야 하기 때문에 누화(cross talk)의 증가 및 정도(accuracy)의 저하가 예상되며, 따라서 동일 수준의 누화 및 정도를 유지하기 위해서는 필터의 차수 및 데이터의 bit 용량을 다소 증가시켜 줄 필요가 있다. 또한 본 알고리즘의 하드웨어 실현시 제어장치가 다소 복잡해질 가능성도 배제할 수는 없다.

앞으로 group delay, noise, implementation 등에 대한 연구가 계속되어야 할 것으로 사료된다.

参考文献

- (1) S. Darlington, "On digital Single Sideband modulators", IEEE Trans. Circuit Trans., Circuit theory, vol. CT-17, no. 3, pp. 409~414, Aug. 1970.
- (2) C. F. Kruth, "SSB/FDM Utilizing TDM digital filters", IEEE Trans. Comm., vol. COM-19, no. 1, pp. 63~71, Feb. 1971.
- (3) S. L. Freeny, R. B. Kieburz, K. V. Mina, "Design of digital filters for an all digital FDM-TDM Translator" IEEE, vol. CT-18, no. 6, pp. 702~711, Nov. 1971.
- (4) M. Tomlinson, K. M. Wong, "Techniques for the digital interfacing of TDM-FDM Systems", Proc. IEE vol. no. 12, pp. 1285~1292, Dec. 1976.
- (5) A. Peled, S. Wingrad, "TDM/FDM Conversion requiring reduced Computation Complexity," IEEE Trans., Comm. vol. COM-26, no. 5, pp. 707~719, May. 1978.
- (6) H. Scheuermann, H. Gockler, "A Comprehensive survey of digital transmultiplexing methods", Proc. IEEE, vol. 69, no. 11, pp. 1419~1449, Nov. 1981.
- (7) S. Singh, K. Renner, S. C. Gupta, "Digital single sideband modulation", IEEE Trans. Comm., vol. COM-21, pp. 255~262, Mar. 1973.
- (8) D. K. Weaver, "A third method of generation and detection of single side band signals," Proc. IRE, vol. 44, pp. 1703~1705, Dec. 1956.
- (9) K. M. Wong, V. K. Aatre, "Commutativity and application of digital interpolation filters and modulators", IEEE Trans., Comm., vol. COM-29, no. 2, pp. 244~249, Feb. 1980.
- (10) R. E. Crochiere, L. R. Rabiner, "Interpolation and decimation of digital signals - a tutorial review", Proc. IEEE vol. 69, no. 3, pp. 300~331, Mar. 1981.
- (11) R. W. Schater, L. R. Rabiner, "A digital signal processing approach to interpolation", Proc. IEEE vol. 61, no. 6, pp. 692~702, Jun. 1973.
- (12) M. G. Bellanger, "On Computational Complexity in digital transmultiplexer filters", IEEE Trans., Comm., vol. COM-30, no. 7, pp. 1461~1465, July 1982.



金泰樹(Tae Soo KIM) 正會員
1949年8月5日生
1977年2月：東亞大學校電子工學科卒業
1985年2月：東亞大學校大學院電子工學科 卒業(工學碩士)
1985年3月～現在：東亞大學校 大學院 電子工學科 博士 課程
1977年7月～1980年9月：遞信公務員教員
育院 教官
1980年10月～1982年2月：遞信部 計劃局 勤務
1982年3月～現在：釜山東明專門大學 電子科 助教授



金明起(Myung Ki KIM) 正會員
1930年1月25日生
1958年6月：美國 海軍工科大學 卒業
1966年2月：서울大學校 大學院 電子工學科卒業(工學碩士)
1976年2月：東亞大學校 大學院 電子工學專攻(工學博士)
1954年2月～1969年3月：海軍士官學校 教授部勤務
1969年4月～1972年2月：IMEC電子株式會社 勤務
1972年3月～現在：東亞大學校 工科大學 電子工學科教授
本學會 釜山－慶南支部長